

$$\Delta h = \frac{2g_c D}{FL^2} \quad (a)$$

$$\Delta h = \frac{2g_c p D^2}{64 L^4 V} \quad (b)$$

(a) & (b) • Friction Factor (Friction Factor)

Darcy's friction factor (f_D) (Colebrook's formula)

Darcy's friction factor (f_D) (Turbulent region)

Laminar friction factor (f_L) (Region of laminar flow)

Laminar friction factor (f_L) (Poiseuille)

Laminar friction factor (f_L) (Laminar flow)

Laminar friction factor (f_L) (Flow in pipes)

Laminar friction factor (f_L) (Flow in pipes)

Laminar friction factor (f_L) (Flow in pipes)

Laminar friction factor (f_L) (Flow in pipes)

Laminar friction factor (f_L) (Flow in pipes)

Laminar friction factor (f_L) (Flow in pipes)

Laminar friction factor (f_L) (Flow in pipes)

Laminar friction factor (f_L) (Flow in pipes)

Laminar friction factor (f_L) (Flow in pipes)

Laminar friction factor (f_L) (Flow in pipes)

Laminar friction factor (f_L) (Flow in pipes)

Laminar friction factor (f_L) (Flow in pipes)

Laminar friction factor (f_L) (Flow in pipes)

Laminar friction factor (f_L) (Flow in pipes)

Laminar friction factor (f_L) (Flow in pipes)

Laminar friction factor (f_L) (Flow in pipes)

Laminar friction factor (f_L) (Flow in pipes)

Laminar friction factor (f_L) (Flow in pipes)

Laminar friction factor (f_L) (Flow in pipes)

Laminar friction factor (f_L) (Flow in pipes)

Laminar friction factor (f_L) (Flow in pipes)

Flow in pipes at low Reynolds number (R_e)

Flow in pipes at intermediate Reynolds number (R_e)

Flow in pipes at high Reynolds number (R_e)

Flow in pipes at very high Reynolds number (R_e)

Flow in pipes at extremely high Reynolds number (R_e)

Flow in pipes at supercritical Reynolds number (R_e)

Flow in pipes at transition Reynolds number (R_e)

Flow in pipes at laminar flow Reynolds number (R_e)

Flow in pipes at turbulent flow Reynolds number (R_e)

Flow in pipes at fully developed turbulent flow Reynolds number (R_e)

Flow in pipes at fully developed laminar flow Reynolds number (R_e)

Flow in pipes at transition Reynolds number (R_e)

Flow in pipes at laminar flow Reynolds number (R_e)

Flow in pipes at turbulent flow Reynolds number (R_e)

Flow in pipes at fully developed turbulent flow Reynolds number (R_e)

Flow in pipes at transition Reynolds number (R_e)

Flow in pipes at laminar flow Reynolds number (R_e)

Flow in pipes at turbulent flow Reynolds number (R_e)

Flow in pipes at fully developed turbulent flow Reynolds number (R_e)

Flow in pipes at transition Reynolds number (R_e)

Flow in pipes at laminar flow Reynolds number (R_e)

Flow in pipes at turbulent flow Reynolds number (R_e)

Flow in pipes at fully developed turbulent flow Reynolds number (R_e)

Flow in pipes at transition Reynolds number (R_e)

Flow in pipes at laminar flow Reynolds number (R_e)

Flow in pipes at turbulent flow Reynolds number (R_e)

Flow in pipes at fully developed turbulent flow Reynolds number (R_e)

Flow in pipes at transition Reynolds number (R_e)

Flow in pipes at laminar flow Reynolds number (R_e)

$$\frac{V_f}{V_t} = -2 \log_{10} \left(\frac{3.7D}{e} + \frac{N_{Re} V_t}{2.51} \right) \quad (c)$$

کاملاً دقیق نمیباشد ، ولی از لحاظ عملی این اشتباه آنقدر ناچیز است که قابل صرف نظر کردن می باشد کاملاً واضح است که منحنی های (۱) تا (۴) را - می توان برای هر نوع لوله ای با هر اندازه ناصافی رسم کرد و مورد استفاده قرار داد .

گاهی از اوقات ممکن است بخواهیم افت فشار را برای لوله ای پیدا کنیم که اندازه آن خارج از اندازه های موجود در گراف باشد . در اینصورت میتوان از معادله تقریبی زیر استفاده کرد :

$$\Delta P_{Line2}(\Delta p_{prox.}) = \Delta P_{Line1}(D_{Line2}/D_{Line1})^5 \quad (4)$$

معادله (۴) برای جریانهای درهم قابل استفاده است . شکل (۷) میزان ماکریم خطای ایجاد شده در صورت استفاده از معادله (۴) را نشان میدهد برای جریان آرام بجای توان پنج لازم است نسبت قطرها به توان چهار برسد که در اینصورت جواب دارای دقت خیلی زیادی میباشد .

هنگامیکه گاز در داخل یک لوله جریان پیدا میکند دانسته آن بتدریج با کم شدن فشار کم میگردد . این موضوع در اثر افزایش سرعت گاز و انرژی سینتیک نیز ایجاد میشود . بواسطه این انحراف برای جریان های با سرعت زیاد و جریانهای بالافت فشار زیاد ، مشخصات ترمودینامیکی گاز باید صحیح در نظر گرفته شود ، زیرا در غیر اینصورت معادله دارسی در چنین حالاتی بفرم نرمال انتگرال گرفته شده آن دیگر قابل استفاده قرار نگیرد .

جریان با سرعت بالا بیشتر در لوله های خروجی که بعد از شیرهای اطمینان (Safety Valves) قرار دارند ایجاد میگردد . گراف شماره (۸) که در اینجا بطور مشروح از یک بولتن موسسه نفتی آمریکا (American Petroleum Institute) که گردیده است برای جریان ایزو ترمال گازها قابل استفاده بوده و افت فشار را برای هنگامیکه

که عدد رینولد معادل ۲۰۰۰ (آغاز انفال) است که در معنی انفال فاصله بین جریان آرام و جریان درهم میباشد .

از معادله کلبر وک در رسم گرافها هنگامیکه عدد رینولد بین ۲۰۰۰ تا ۴۰۰۰ قرار گرفته باشد استفاده شده است که بطوریکه گفته شده این فاصله در حقیقت منطقه بحرانی (Critical zone) می باشد . در این فاصله یا منطقه بحرانی جریان داخل لوله تحت رژیم معینی نمیباشد یا بعبارت دیگر

نه جریان آرام است و نه درهم ، بهمین جهت آنرا واسطه دو حالت مجزای ذکر شده در بالا باید در نظر گرفت . (Transition-region) در مورد جریان درهم همانطور که انتظار میرود افت فشار بیشتری تا جریان آرام برای یک حالت یکسان بدست میآید .

این گراف ها برای لوله های فولادی تمیز و نو و لوله هائی که دارای ناصافی (Roughness) مطلق معادل با $10^{-4} \times 1/5$ فوت می باشند قابل بکار بردن است . برای سایر لوله هائی که مقدار ناصافی آنها با مقدار گفته شده در بالا وفق نمیدهد میتوان ضریب تصحیح افت فشار را از دیگرامهای (۵) و (۶) بدست آورد . افت فشار این نوع لوله ها را بوسیله ضرب فاکتور تصحیح کننده در افت فشار من بوت به لوله های فولادی مشابه بدست میآورند .

یک ناصافی مطلق معادل با $10^{-6} \times 5$ فوت برای بسیاری از لوله های پلاستیکی و همچنین - لوله هائی که تحت عنوان لوله کشیده شده (Drawn pipe) معروف هستند مانند لوله های برنجی و سربی و لوله های صاف مانند شیشه ای صادق است بهر حال باید توجه داشت که این روش استفاده از یک فاکتور تصحیح کننده افت فشار دارای جواب

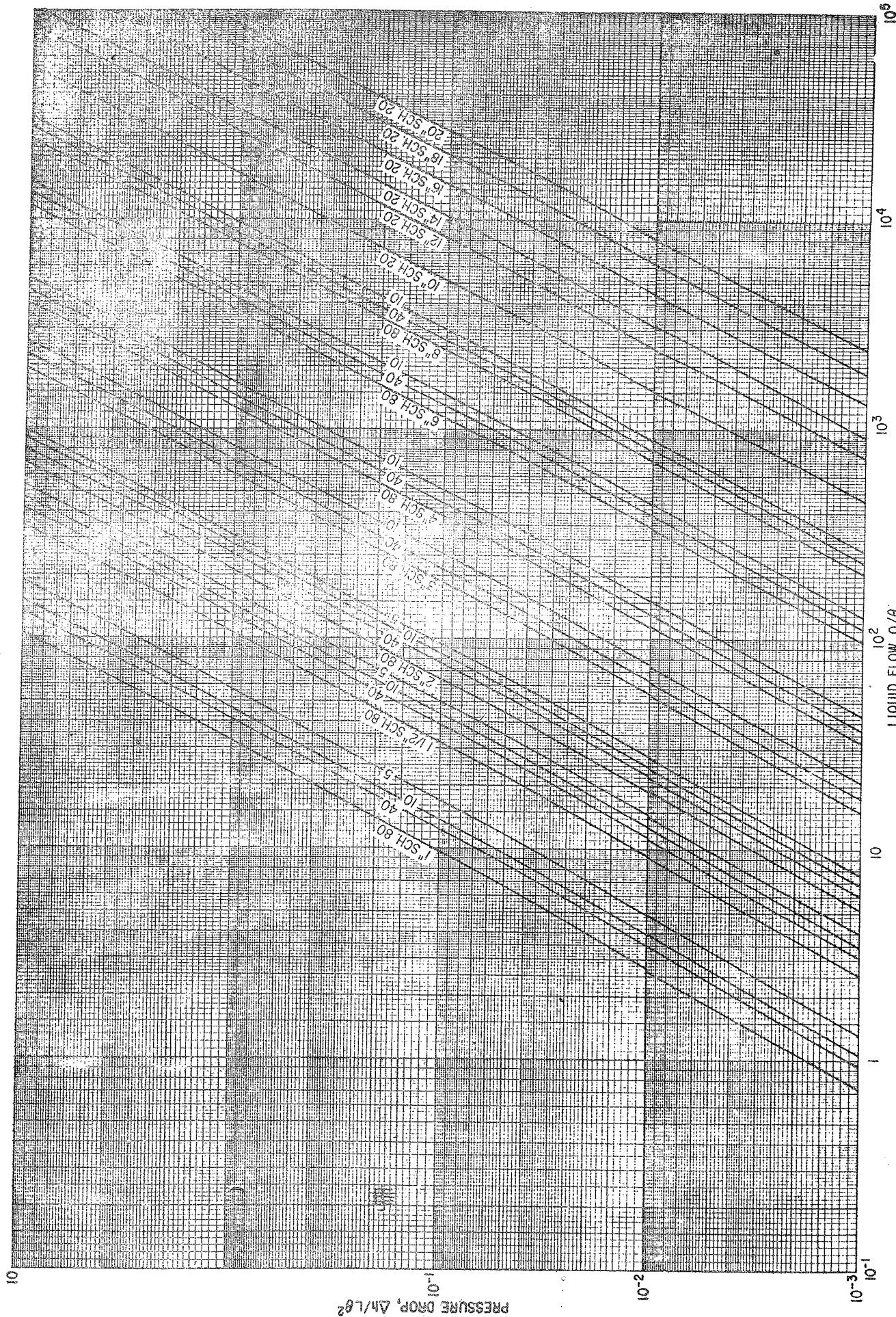


Fig. 1—Head loss for high liquid flow in steel pipe ($\epsilon = 1.5 \times 10^{-4}$ ft).

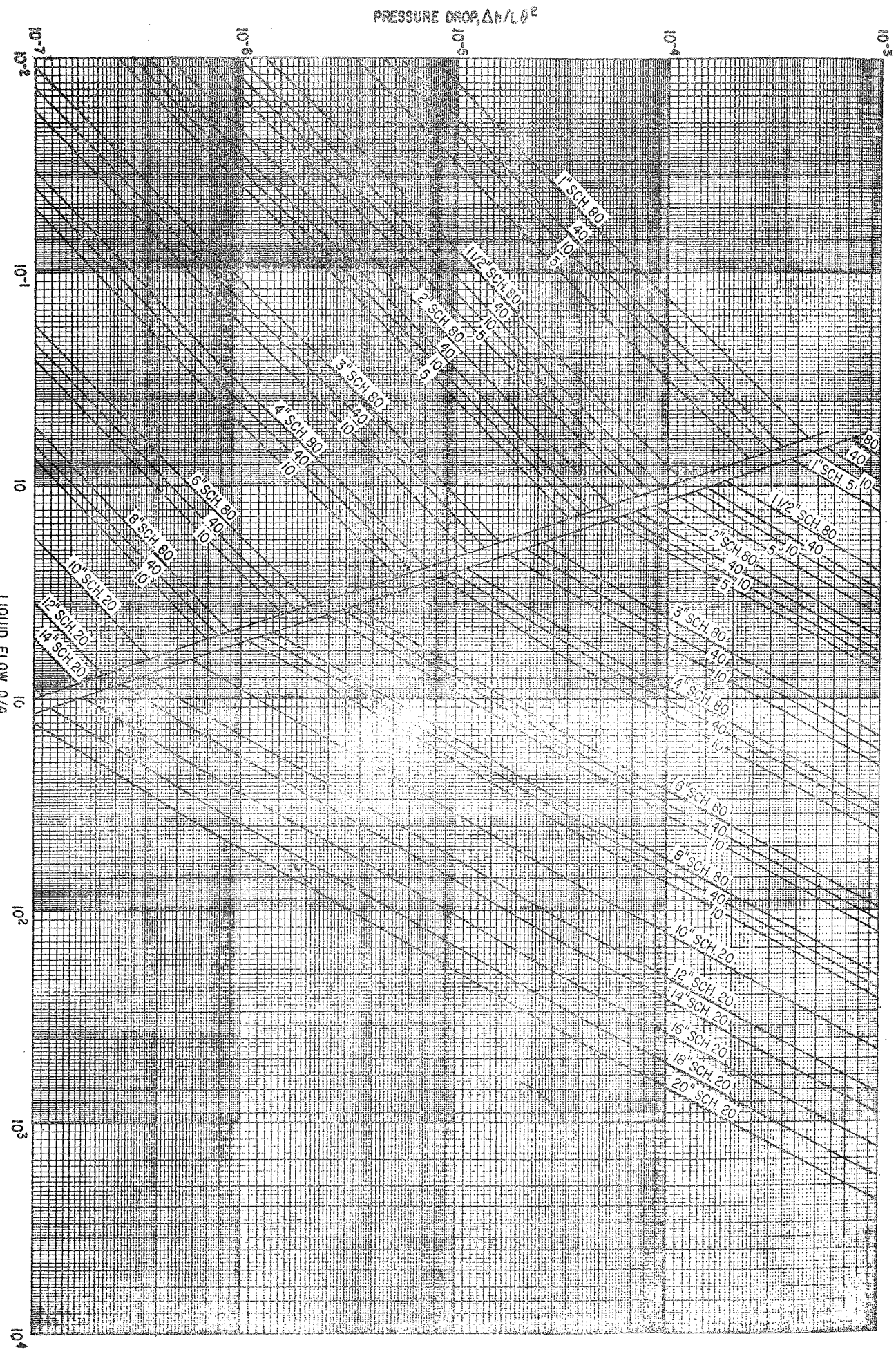


Fig. 2—Head loss for low liquid flow in steel pipe.

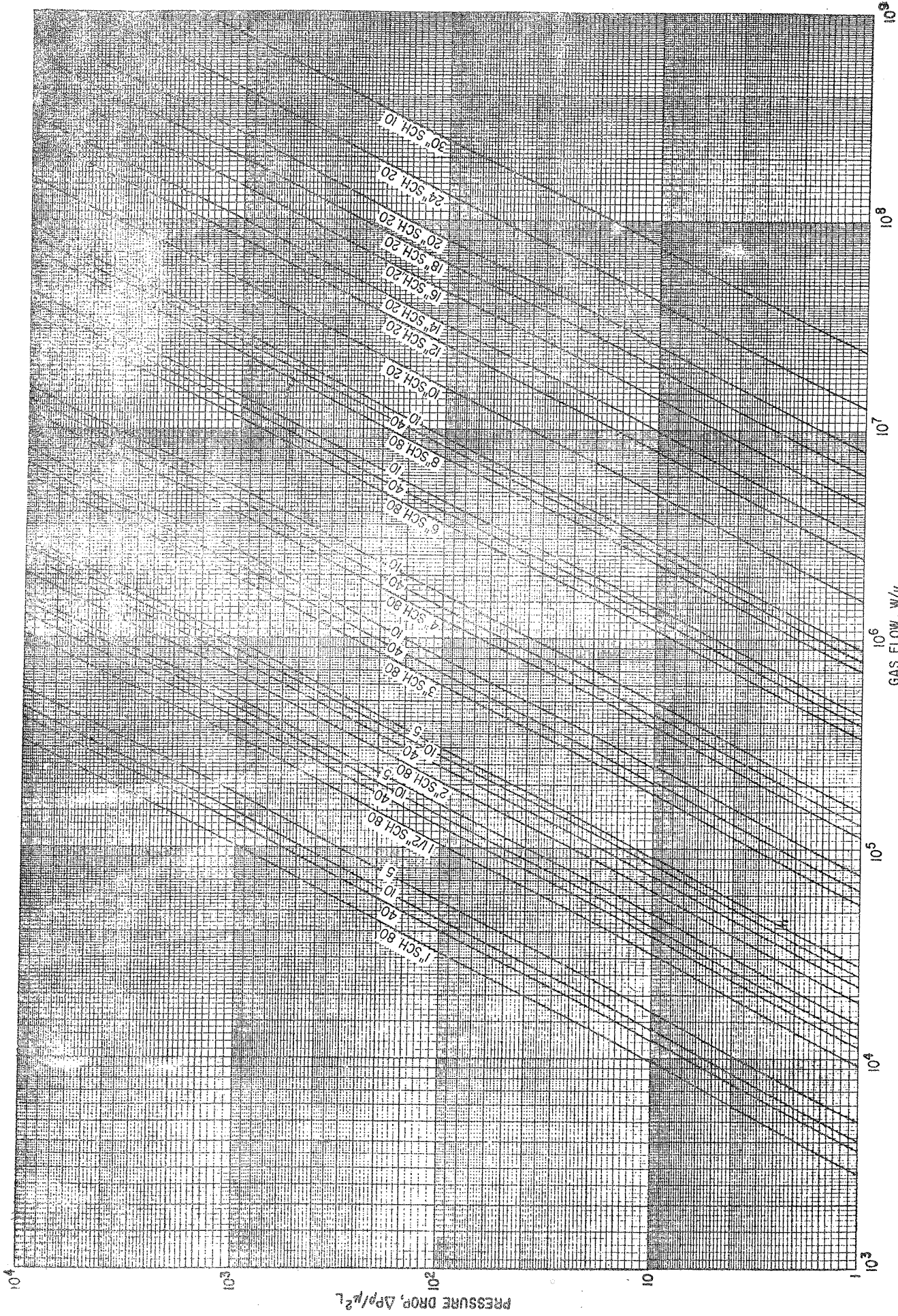


Fig. 3—Pressure drop for high gas flow in steel pipe ($\epsilon = 1.5 \times 10^{-4}$ ft.).

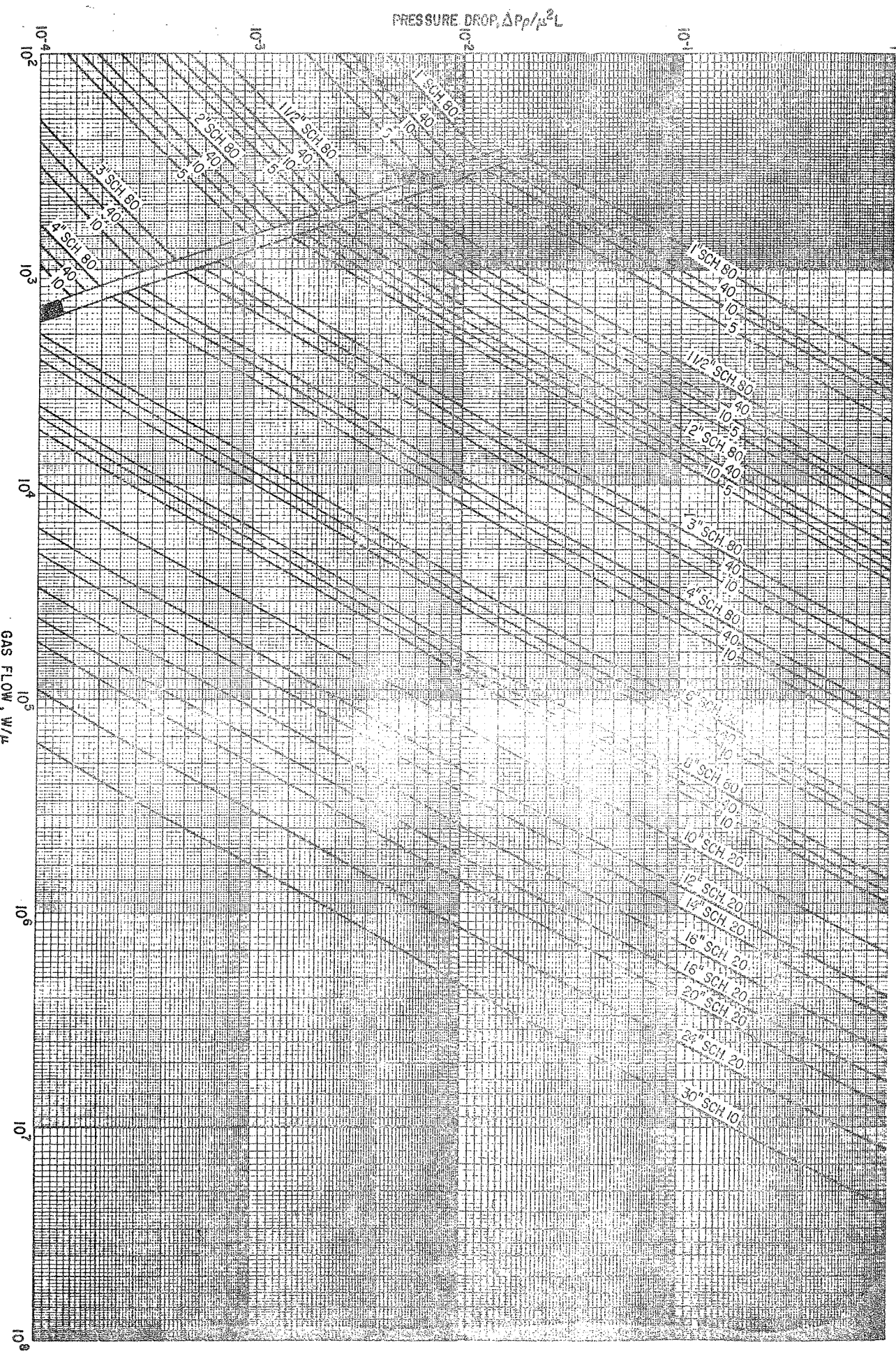


Fig. 4—Pressure drop for low gas flow in steel pipe.

$$\text{Pipe B smooth} = 5 \times 10^{-6} \text{ ft}$$

$$\text{Pipe A steel} = 1.5 \times 10^{-4} \text{ ft}$$

$$L = 150 \text{ ft}$$

$$d = 7.981 \text{ in} \quad (8 \text{ in Schedule 40})$$

$$Z = 1$$

$$T_1 = 100 \text{ °F} = 560 \text{ °R}$$

$$P_1 = 100 \text{ psi}$$

$$M = 20$$

$$n_1 = 0.02 \text{ Cp}$$

$$W = 20000 \text{ lbs/hr.}$$

प्रृथम वर्ष : 1 अड्डा

$$\Delta P_{\text{gas}} = (3.4 \times 10^{-5})(L/d)^2 \quad (1)$$

$$\Delta P_{\text{liquid}} = (6.3 \times 10^{-4})(L/d)^4 \quad (1)$$

$$V_{\text{gas}} = 0.050 W/P_d \quad (1)$$

$$V_{\text{liquid}} = 0.4080/d^2 \quad (1)$$

$$W = P_d \quad (1)$$

$$P = \frac{PM}{10.73ZT} \quad (1)$$

$$\Delta P = gP(Ah)/MA \quad (1)$$

$$V_e = 68 \sqrt{\frac{P}{d}} \quad (1)$$

$$(प्रृथम वर्ष) : 20000/0.02 = 1000000 \text{ ft}^3/\text{hr.}$$

$$W = (0.0509)(200000)/(0.333)(7.981)^2 \cdot 10^6 \text{ ft}^3/\text{hr.}$$

$$\Delta P_B = (0.81)(0.287) = 0.232 \text{ psi}$$

$$\frac{\Delta P_A}{\Delta P_B} = 0.81 : B \text{ अड्डा}$$

$$E = 5 \times 10^{-6} \text{ ft}$$

$$W/u = 1 \times 10^6 \text{ lb/ft}^3 \text{ अड्डा}$$

$$\Delta P = (1.6)(0.02)/0.33 \quad (1)$$

$$\Delta P_p/u^2 L = 1.6 \quad (1)$$

$$W/u = 20000/0.02 = 1 \times 10^6 \text{ ft/sec}$$

$$= 48 \text{ ft/sec}$$

$$V_e = (0.0509)(30000)/(0.333)(7.981)^2 \quad (1)$$

$$= 0.333 \text{ lbs/cu.ft}$$

$$P = (100)(20)/(10.73)(1)(560)(V) \text{ अड्डा}$$

$$B, A \text{ अड्डा} \rightarrow B \text{ अड्डा} \rightarrow 1$$

$$W = 2000000 \text{ ft}^3/\text{hr.}$$

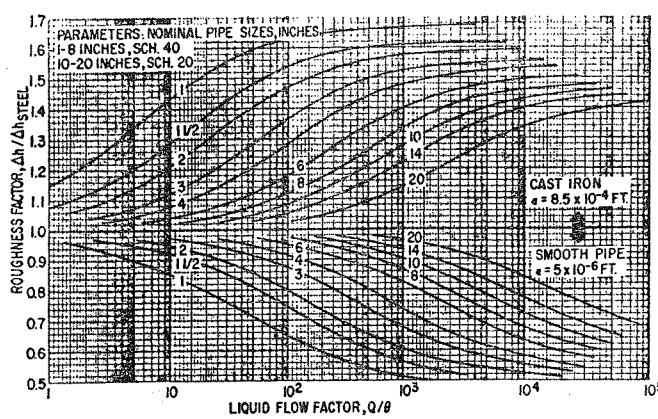


Fig. 5—Wall roughness factor for liquids.

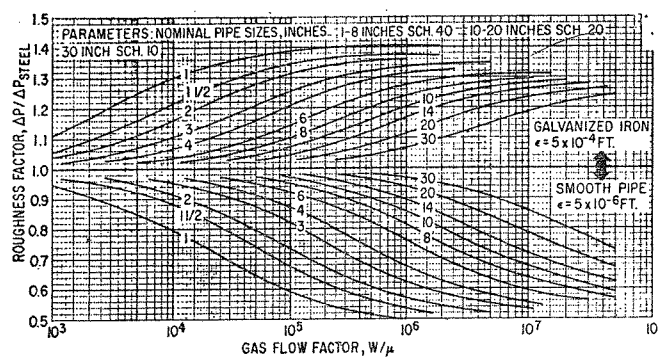


Fig. 6—Wall roughness factor for gases.

ناهمواری (ناصافی) دیواره های لوله ها را میتوان اغلب از مراجع استاندارد بدست آورد. (۷) در ناحیه جریان آرام افت فشار مستقل از ناصافی دیواره ها می باشد.

افت فشار در خطوط لوله اولاً با ایجاد خورندگی در جدار لوله، ثانیاً با کم شدن قطر داخلی لوله (بعدت تشکیل جرم) افزایش می یابد. اما افت فشار در مقابله تغییرات قطر حساسیت بیشتری را دارا می باشد، برای روشن شدن مطلب باید توجه داشت که تجربه نشان می دهد که چنانچه ناصافی درون یک خط لوله ۱۰ برابر شود مقدار ماکریم افت فشار دو برابر مقدار اولیه خواهد شد، در حالیکه مشاهده شده است برای یک لوله با ناصافی ثابت هنگامی افت فشار در مقابله تغییرات قطر دو برابر

فرض غیر قابل فشرده بودن را صادق فرض کنیم، عمل منجر به یک اشتباه عظیم در جواب مسئله میگردد این اختلاف موجود بین دو حالت مر بوط به سرعت زیاد گاز در خط لوله است.

مسئله ۳ : جریان مایع

$$Q = 120 \text{ gpm}$$

$$\theta = 0.4 \text{ cs}$$

$$\Delta h/L = 0.04 \text{ ft/ft مجاز} \quad \text{لوله نو}$$

$$\epsilon_{\text{pipe A steel}} = 1.5 \times 10^{-4} \text{ ft}$$

$$\epsilon_{\text{pipe B smooth}} = 5 \times 10^{-6} \text{ ft}$$

با فرض اینکه لوله ردیف (۴۰) بکار برده خواهد شد برای هر کدام از لوله های A و B اندازه قطر را تعیین کنید.

$$Q/\theta = 120/0.4 = 30$$

$$\Delta h/L\theta^2 = 0.04/(0.4)^2 = 0.25 \text{ max}$$

از شکل (۱) برای لوله ردیف (۴۰) جوار زیر برای A بدست می آید.

$$\Delta h/L\theta_2 = 1.4$$

برای لوله ۲ اینچ

$$\Delta h/L\theta_2 = 0.2$$

برای لوله ۳ اینچ

برای لوله B از شکل (۵)

$$\Delta h_B/\Delta h_A = 0.7$$

برای لوله ۲ اینچ

$$\Delta h_B/\Delta h_A = 0.78$$

برای لوله ۳ اینچ

بنابراین برای لوله B

$$\Delta h/L\theta^2 = (0.7)(1.4)$$

برای لوله ۲ اینچ

$$\Delta h/L\theta^2 = (0.78)(0.2)$$

برای لوله ۳ اینچ

$$= 0.16$$

بنابراین مشاهده میگردد خواه لوله از نوع A یا B باشد بر آنکه افت فشار پائین تراز حد مجاز باشد باید از لوله (۳) اینچ استفاده کرد.

ملاحظات دیگر:

ضریب اصطکاکی که از فرمول کلبر و کم حسابه میشود برای لوله های تمیز و نو بوده و دارای دقیق در حدود $+10$ درصد میباشد. این فاصله دقیق بیشتر بعلت تولار انس هنگام ساخت لوله هاست.

($\Delta V = \frac{P}{F}$) $\therefore N = \frac{P}{F}$
 (a) $P = 120 \text{ N}$, $F = 40 \text{ N}$
 $\therefore N = \frac{120}{40} = 3$
 (b) $P = 120 \text{ N}$, $F = 60 \text{ N}$
 $\therefore N = \frac{120}{60} = 2$
 (c) $P = 120 \text{ N}$, $F = 30 \text{ N}$
 $\therefore N = \frac{120}{30} = 4$

(d) $P = 120 \text{ N}$, $F = 20 \text{ N}$
 $\therefore N = \frac{120}{20} = 6$
 (e) $P = 120 \text{ N}$, $F = 10 \text{ N}$
 $\therefore N = \frac{120}{10} = 12$
 (f) $P = 120 \text{ N}$, $F = 5 \text{ N}$
 $\therefore N = \frac{120}{5} = 24$
 (g) $P = 120 \text{ N}$, $F = 3 \text{ N}$
 $\therefore N = \frac{120}{3} = 40$
 (h) $P = 120 \text{ N}$, $F = 1 \text{ N}$
 $\therefore N = \frac{120}{1} = 120$

(i) $P = 120 \text{ N}$, $F = 0.1 \text{ N}$
 $\therefore N = \frac{120}{0.1} = 1200$
 (j) $P = 120 \text{ N}$, $F = 0.01 \text{ N}$
 $\therefore N = \frac{120}{0.01} = 12000$
 (k) $P = 120 \text{ N}$, $F = 0.001 \text{ N}$
 $\therefore N = \frac{120}{0.001} = 120000$
 (l) $P = 120 \text{ N}$, $F = 0.0001 \text{ N}$
 $\therefore N = \frac{120}{0.0001} = 1200000$

ပုံမှန်တစ်နံပါတ်ဖော်လျော့ကို
 $N = \frac{P}{F}$ ဖြစ်သည်။
 (a) $P = 120 \text{ N}$, $F = 40 \text{ N}$
 $\therefore N = \frac{120}{40} = 3$
 (b) $P = 120 \text{ N}$, $F = 60 \text{ N}$
 $\therefore N = \frac{120}{60} = 2$
 (c) $P = 120 \text{ N}$, $F = 30 \text{ N}$
 $\therefore N = \frac{120}{30} = 4$
 (d) $P = 120 \text{ N}$, $F = 20 \text{ N}$
 $\therefore N = \frac{120}{20} = 6$
 (e) $P = 120 \text{ N}$, $F = 10 \text{ N}$
 $\therefore N = \frac{120}{10} = 12$
 (f) $P = 120 \text{ N}$, $F = 5 \text{ N}$
 $\therefore N = \frac{120}{5} = 24$
 (g) $P = 120 \text{ N}$, $F = 3 \text{ N}$
 $\therefore N = \frac{120}{3} = 40$
 (h) $P = 120 \text{ N}$, $F = 1 \text{ N}$
 $\therefore N = \frac{120}{1} = 120$
 (i) $P = 120 \text{ N}$, $F = 0.1 \text{ N}$
 $\therefore N = \frac{120}{0.1} = 1200$
 (j) $P = 120 \text{ N}$, $F = 0.01 \text{ N}$
 $\therefore N = \frac{120}{0.01} = 12000$
 (k) $P = 120 \text{ N}$, $F = 0.001 \text{ N}$
 $\therefore N = \frac{120}{0.001} = 120000$
 (l) $P = 120 \text{ N}$, $F = 0.0001 \text{ N}$
 $\therefore N = \frac{120}{0.0001} = 1200000$

ပုံမှန်တစ်နံပါတ်ဖော်လျော့ကို
 $N = \frac{P}{F}$ ဖြစ်သည်။
 (a) $P = 120 \text{ N}$, $F = 40 \text{ N}$
 $\therefore N = \frac{120}{40} = 3$
 (b) $P = 120 \text{ N}$, $F = 60 \text{ N}$
 $\therefore N = \frac{120}{60} = 2$
 (c) $P = 120 \text{ N}$, $F = 30 \text{ N}$
 $\therefore N = \frac{120}{30} = 4$
 (d) $P = 120 \text{ N}$, $F = 20 \text{ N}$
 $\therefore N = \frac{120}{20} = 6$
 (e) $P = 120 \text{ N}$, $F = 10 \text{ N}$
 $\therefore N = \frac{120}{10} = 12$
 (f) $P = 120 \text{ N}$, $F = 5 \text{ N}$
 $\therefore N = \frac{120}{5} = 24$
 (g) $P = 120 \text{ N}$, $F = 3 \text{ N}$
 $\therefore N = \frac{120}{3} = 40$
 (h) $P = 120 \text{ N}$, $F = 1 \text{ N}$
 $\therefore N = \frac{120}{1} = 120$
 (i) $P = 120 \text{ N}$, $F = 0.1 \text{ N}$
 $\therefore N = \frac{120}{0.1} = 1200$
 (j) $P = 120 \text{ N}$, $F = 0.01 \text{ N}$
 $\therefore N = \frac{120}{0.01} = 12000$
 (k) $P = 120 \text{ N}$, $F = 0.001 \text{ N}$
 $\therefore N = \frac{120}{0.001} = 120000$
 (l) $P = 120 \text{ N}$, $F = 0.0001 \text{ N}$
 $\therefore N = \frac{120}{0.0001} = 1200000$

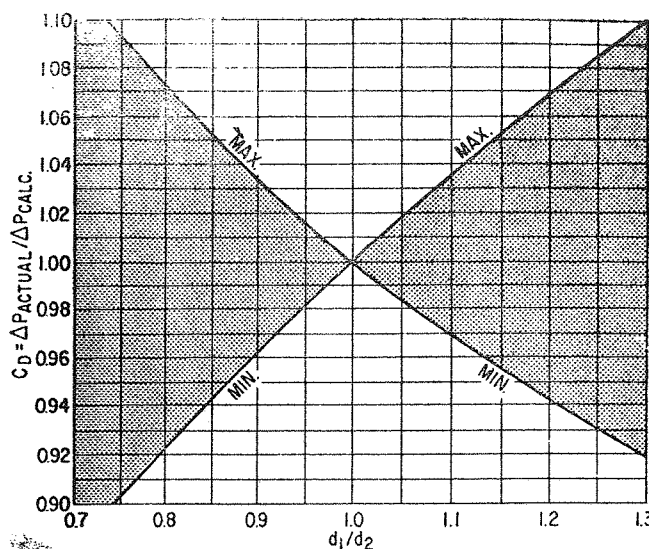


Fig. 7—Possible error in Equation 4.

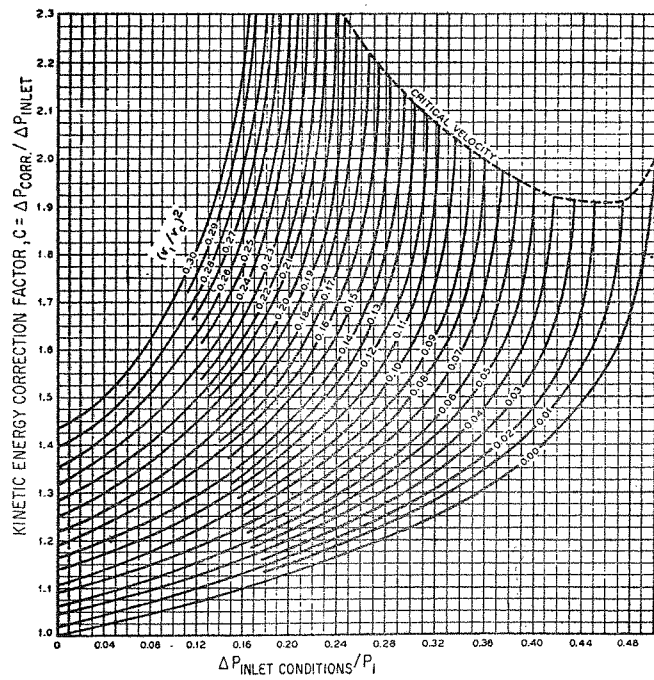


Fig. 8—Correction for isothermal flow of gases.

که در آن $F \dots$ بمعنی تابع ... است.
در جریان آرام برای هر مقدار ناصافی جدار
لوله معادلاتی معین بصورت زیر وجود دارد:

$$\frac{\Delta h}{L\theta^2} = (6.3 \times 10^{-4}) \left(\frac{0}{\theta d^4} \right)$$

$$\frac{\Delta P_p}{L\mu^2} = (3.4 \times 10^{-5}) \left(\frac{W}{\mu d^4} \right)$$

واحد اندازه‌گیری

بدون بعد

اینج

ویژه معادل (۱/۸) (که بزرگتر از نسبت گرمای ویژه هر گاز شناخته شده تحت درجه حرارت وشارهای عادی میباشد) و یاک اوله فرضی که طول آن صفر باشد، ظرفیت حمل جریان آدیا باتیک کمتر از ۲۰ درصد، از ظرفیت حمل جریان ایزو ترمال تجاوز میکند. (این حالت فرضی ما کزیم اختلاف دو حالت فوق را نشان میدهد) حال هرچه طول لوله افزایش پیدا کند، این اختلاف بین دو حالت کمتر میشود. بعنوان مثال اگر طول لوله ۵۰۰ فوت و لوله فولادی اینج باشد ما کزیم اختلاف به ۵ درصد تنزل خواهد کرد.

برای حالاتیکه بخواهند روی جریان آدیا باتیک تحقیقات و بررسی هائی بعمل بیآورند، روش محاسبه درمنابع اطلاعات (۵ و ۶) ذکر گردیده است در منبع اطلاعات شماره (۵) معادلاتی داده شده که از آنها یک فاکتور تصحیح کننده انرژی سینتیک شبیه با آنچه که در مورد جریان ایزو ترمال وجود دارد بدست میآید،

معادلات فرعی

یک بررسی از معادلات (۲) و (۳) نشان میدهد که امکان ایجاد یک رابطه جبری بین افت فشار و سایر متغیرها وجود ندارد. بهر حال برای هر لوله که دارای قطر و ناصافی ثابتی باشد یک رابطه بصورت تابع میتوان بدست آورد این روابط بر اساس شکل های از (۱) تا (۴) می باشند و عبارتنداز:

$$\frac{\Delta h}{L\theta^2} = F \left(\frac{Q}{\theta} \right)$$

$$\frac{\Delta P_p}{L\mu^2} = F \left(\frac{W}{\mu} \right)$$

معانی حروف

C_D = فاکتور قطر در شکل

d = قطر داخلی لوله

5. Cheskler, S., Jesser, B.W., Tr.-
- 821.832, July 1942.
- Chemistry, Vol. 34 No. 2, PP
- G.T., Industrial and Engineering
4. Lobo, W.E., Friend L. and Skaperdas
ion, 1967.
- vining Systems in Refineries, 3rd edit
and Installation of Pressure-Relie-
- ended Practice. for the Design
and 1961.
- ASME 66, PP 671-684, Novem-
- ber 19 44.
1. Moody, L.F., Transactions of
the American Institute of Civil
Engineers (London) II. PP 133-
- 156 1938-1939
3. American Petroleum Institute
Bulletin API RP 520, Recom-m-
2. Colebrook, C.F.J. Inst. Civil
Engineering (London) II. PP 133-
- 156 1938-1939
1. ASME 66, PP 671-684, Novem-
- ber 19 44.

$$\frac{dP}{dx} = \frac{F}{A}$$

$$\frac{dP}{dx} = \frac{F}{A}$$

$$\frac{dP}{dx} = \frac{F}{A}$$

$$\frac{dP}{dx} = P$$

$$dP = \rho g dx$$

$$dP = \rho g dx = z$$

$$dP = \rho g dx = -W$$

$$dP = \rho g dx = -V$$

$$dP = \rho g dx = -\Delta$$

$$dP = \rho g dx = -T$$

$$dP = \rho g dx = 0$$

$$dP = \rho g dx = b$$

$$dP = \rho g dx = AP$$

$$dP = \rho g dx = P$$

$$dP = \rho g dx = -NRe$$

$$dP = \rho g dx = M$$

$$dP = \rho g dx = T$$

$$dP = \rho g dx = AP$$

$$dP = \rho g dx = -g$$

$$dP = \rho g dx = F$$

$$dP = \rho g dx = D$$

$$\frac{dP}{dx} = \frac{F}{A}$$

- ansaction of SAME 74, PP 229-246, February 1952.
6. Lapple, C. E. Transactions of American Institute of Chemical Engineers, PP 385-432 1945 .
 7. Perry, J.H., Chemical Engineers, Handbook, 4th Edition, 1963 Mc Graw Hill .
 8. Colebrook C.F. and White C.M.,
- J. Inst. Civil Engineers (London) 7, PP 99, 1937-1938
9. Fairbank Morse and Co., 3rd Edition, Hydraulic Handbook, 1659
 10. Crane Technical Paper No. 410, Flow of Fluids Through Valves, Fittings and Pipe, Crane Co. 1957 .